婴儿先天性巨结肠 X 线诊断

郭顺林 雷军强 高明太

【摘要】 目的: 探讨婴儿先天性巨结肠的 X 线特征及其检查方法。材料和方法: 经手术 及病理证实的 17 例婴儿先天性巨结肠的 X 线表现与手术结果对照。结果: 婴儿先天性巨结肠好发于直肠及乙状结肠的交界处。 最典型的 X 线表现为狭窄、移行、扩张段并 24 小时后均有不同程度的 钡潴留。婴儿期先天性巨结肠的检查方法具有 一定的特殊性。结论: X 线检查是诊断婴儿先天性巨结肠的重要方法, 绝大多数病例具有典型的表现。

【关键词】 婴儿先天性巨结肠 检查 诊断

【中图分类号】R726.2, R814 【文献标识码】A 【文章编号】1000-0313(2000)05-0320-03

X-ray diagnosis of infant congenital megacolon Guo Shunlin, Lei Junqiang, Gao Mingtai. Department of Radiology, the First Affiliated Hospital of Lanzhou Medical College, Lanzhou 730000

Capture: To study the X-ray characteristics and the examination procedure of infant congenital megacolon. **Methods:** 17 cases of infant congenital megacolon were examined with barium enema, and the X-ray findings were compared with operative and pathological findings. **Results:** The infant congenital megacolon often located between rectum and sigmoid. The typical X-ray features included the stenosis and dilatation of colon, and transitional zone between them. There is also stagnation of barium sulfate 24 hours after increase oppositely. **Conclusion:** Irrigoscopy is an important diagnostic method for infant congenital megacolon.

Key words Infant congenital megacolon Examination Diagnosis

先天性巨结肠是较常见的婴幼儿肠道发育畸形, 其诊断方法较多,但钡剂灌肠检查已成为其最简单、最 普遍、较准确的诊断方法之一。本文就我院手术、病理 证实的 17 例婴儿先天性巨结肠钡剂灌肠的表现,结合 病理改变,讨论了婴儿先天性巨结肠的 X 线诊断,并 对其灌肠方法予以探讨。

材料和方法

1990年元月至此 1998 年 6 月在我院行气钡灌肠 检查, 经手术及病理证实的婴儿先天性巨结肠 17 例, 其中男性 14 例, 占 82. 35%, 女性 3 例, 占 17. 65%, 最 小年龄 35 天, 最大年龄 11 月, 平均年龄 8. 4 月。

气钡灌肠前 15 人有腹部平片, 24 小时后 17 人有 钡剂排空片。

钡灌肠的方法: 检查前不作清洁灌肠。肛门先置金属标记, 用儿童肛管, 30%~35%稀钡 100ml, 通过50ml 空针缓慢注入, 常规透视及点片。

结果

先天性巨 结肠的 一般资料 男: 女= 14: 3。部位: 直肠和乙状结肠的交界处 13 例, 占 76. 47%, 直肠中段 2 例, 占 11. 76%, 直肠下段 2 例, 占 11. 76。 气钡灌肠 前摄有腹部平片 15 例, 其中显示阶梯状气液平 12 例, 占 80%, 肠腔多处积气扩张 3 例, 占 20%, 一般以结肠扩张明显。显示典型的狭窄、移行、扩张段 16 例, 占 94. 12%; 狭窄、扩张分界清楚 1 例, 占 5. 88%。 气钡灌肠后 24 小时腹部平片 17 例, 肠腔内均有不同程度的 钡剂潴留占 100%。

婴儿期结肠代尝性的扩张处于初步形成期,故对其的检查一般不同于新生儿,也不同于幼儿,应慎重对待。

讨论

X 线诊断 腹部平片: 诊断本病的首选方法, 本组 15 例, 均不同程度出现小肠、结肠充气扩张, 并以结肠扩张明显, 同时有 12 例显示阶梯状的气液平, 故肠梗阻(完全性或不完全性)(图 1)及肠瘀胀(图 2)是本病出现的最早征象。因此对有临床症状、高度怀疑本病的患儿首先摄腹部平片, 对及时、早期诊断有一定的价值。气钡灌肠检查: 一般可明确诊断, 其显示狭窄、移行、扩张段者在本组病例中有 16 例, 占 94. 12%, 单纯显示狭窄及扩张段 1 例, 占 5. 88%。 故狭窄、移行、扩张段的显示对本病有重要的诊断价值(图 3, 4)。

」此外, 钡剂潴留现象也是诊断本病的另一重要征

作者单位: 730000 兰州医学院第一附属医院

作者简介: 郭顺林(1963~),男,甘肃人,副教授,从事肝脏肿瘤临床介入治疗。 1994-2012 China Academic Journal Electronic Publishing H



象。尤其对狭窄、扩张段显示欠佳, 钡剂潴留可为其唯 一的诊断依据(图 5)。气钡灌肠后 24 小时或 48 小时 腹部平片, 应作为常规检查应用于临床。 本组病例 17 例,均有不同程度的显示,占 100%。

婴儿期先天性巨 结肠检查方法的特殊性 婴儿期 结肠代尝性的扩张处于初步成期, 故对其检查一般不 同于新生儿及幼儿,结合本组病例浅谈以下几点:

- 1. 钡剂灌肠前一般不作清洁灌肠,因其可使狭窄 段被动扩张,尤其是位于直肠中下段的狭窄段, X 线表 现暂时消失或不明显。
- 2. 造影剂一般调制成 30%~ 35% W/V 的混悬 液, 以免大量水份被扩张结肠吸收发生水中毒。

4cm 约在肛提肌的上方, 不易插得过深, 以免超过狭窄 段而引起漏诊。

- 4. 以金属标记观察肛门至病变段的距离. 确定病 变的长度, 为手术治疗及方案的选择提供依据。
- 5. 钡剂一般用 50ml 注射器缓慢注入, 压力不宜 过高,以免狭窄段被动扩张,且注入钡剂不宜过多,避 免相互重叠及水份过多吸收, 当显示狭窄、移行、扩张 段时,即可停止注入,选择最佳体位摄片。
- 6. 拔出肛管后如钡剂不能排出为先天性巨结肠 最早而又可靠的征象。
- 7. 24~48 小时后延迟摄片,特别对于初次检查或 曾作为清洁灌肠的婴幼儿,可见到明显的钡剂潴留,一 般残留于扩张段内,可显示狭窄段轮廓及范围。本组

17 例均有不同程度的显示。

8. 另外对于全结肠型先天性巨结肠,显示结肠小 目缩短,延迟摄片且全结肠有钡剂潴留。

结合本组病例,本病最常见的发病部位为直肠乙状结肠交界处,占76.47%,其次为直肠中段(11.76%)及直肠下段(11.76%)。对于发生在以上部位的本组病例,结合手术所见,测量不同时期婴儿直肠的长度将是我们工作中主要探讨的问题之一。也将为术前诊断及手术方案的确定提供重要的依据。

总之, 正确掌握了婴儿先天性巨结肠 X 线表现,

合理的使用各种检查技术,完全能够达到临临床诊断的目的,并使婴儿先天性巨结肠的术前诊断、确定手术方案、判断预后成为可能。

参考文献

- 1 张学衡. 肛门直肠的局部解剖及其应用. 中华小儿外科杂志, 1989, 3
- 2 刘贤富, 胡晓平, 郭俊渊. 婴儿先天性巨结肠 X 线征象探讨, 临床放射学杂志. 1989. 2.71.
- 3 X 线诊断学•腹部. 上海人民出版社, 1061.

(2000-02-13 收稿)

CT 诊断 Fahr 病一例

谢应朗 崔辛

【中图分类号】R814.42, R742 【文献标识码】D 【文章编号】1000-0313(2000)05-0322-01

Fahr 病是以双侧基底节、丘脑、小脑齿状核及皮质下中枢 对称性钙质沉着为主要病理学的特征的疾病, CT 诊断资料报 道罕见[1]。 笔者遇见 1 例. 报道如下。

患者 女,7岁。因头部外伤伴头痛1周,于2000年3月8日入我院。患者既住有学习困难史,家庭成员未见异常。查体:神清,合作,表情呆滞,双手震颤。实验室检查:血钙2.7mmol/L,血磷1.60mmol/L。头颅CT平扫:双侧丘脑、壳核、苍白球、尾状核可见大量斑片状钙化灶,小者0.3cm×0.3cm,大者2.5cm×1.5cm,CT值243~720HU。双侧侧脑室、三脑室均显

示扩大。中脑导水管及四脑室无扩大,中线结构无移位(图1,2)。CT诊断: Fahr病,梗阻性脑积水。

讨论 本病罕见,又称特发性家族性脑血管亚铁钙沉着症。病因主要为特发性家族性遗传性疾病,多为常染色体显性或隐性遗传。病理表现为病变区广泛对称的终末小动脉和静脉周围的钙质沉着。常起始于青春期或中年期,男女无差异,主要症状有进行性精神障碍、智力低下、痴呆、语言障碍、严重的生长障碍、癫痫发作;其它表现有头晕、头痛、手足搐搦等,血钙、磷生化值在正常范围。

CT 表现: ①基底节钙化: 苍白球呈圆锥形或长条形对称性钙化, 壳核呈点状或不规则形钙化, 尾状核头呈"八"字形或片状钙化, 体部呈带状钙化; ②丘脑钙化: 呈对称性三角形或片状钙化; ③小脑齿状核: 呈括号形或不对称性片状钙化; ④额、顶、颞、枕叶皮髓交界区呈对称性点状、片状或条带状钙化^[1]。本例钙化主要分布于双侧丘脑及基底节区, 而小脑齿状核及各叶皮髓交界区未见钙化。患儿双侧侧脑室及三脑室均显示扩大, 这在以往的文献中论述甚少。

本病主要与容易产生基底节钙化的甲状 旁腺功能减退、结节性硬化等相鉴别。

笔者认为, CT 具有密度分辨率高, 钙化显示好, 定位准确, 简便易行的优点, 是检查 Fahr病的 主要手段。平片检查虽然可发现部份 Fahr 病的颅内钙化, 但其存在分辨率低, 定位

困难的缺点,可作为本病的筛选手段。而 MRI 虽然对软组织病变分辨率高,但对钙化显示较差,不宜作为检查 Fahr病的首选手段。 (2000-04-04 收稿)

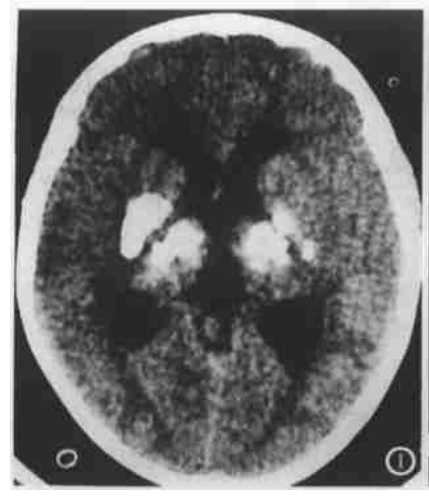




图 1 双侧丘脑、壳核、苍白球可见大量斑片状钙化灶, CT 值 243~720HU。 双侧侧脑室及三脑室扩大。

图 2 双侧尾状核、壳核钙化、双侧侧脑室扩大,前角变钝。

作者单位: 625000 四川雅安地区医院放射科 作者简介: 谢应朗,(1954~),男,四川成都人,副主任医师,从事盆 空時間下標本(中,後野乃四本)

1994-2012 China Academic Journal Electronic Publishing House. All rights reserved. http://www.cnki.net